

## 跳水点付近の乱れ特性

金沢工業大学 正員 中川武夫  
 金沢工業大学 正員 ○今井悟  
 金沢工業大学 学生員 小澤誠  
 金沢工業大学 中村靖  
 金沢工業大学 前島宏治  
 金沢工業大学 学生員 大原和俊

## 1. 緒言

跳水現象に関する研究の歴史は長く、すでに数世紀を経ている。これらが長い間にわたる多くの研究者の努力によって、跳水点付近の乱れの構造は明らかに明確化されている。

過去十年間に熱線または熱膜流速計を用いて多くの跳水点付近における乱流測定が実施された。<sup>2,3)</sup> その結果、跳水点直後の主流方向および水深方向の乱れの特性がかなりの程度まで明確化されており、一方で、水路横方向の乱れ成分を含む、三方向の乱れの同時測定がつゝ最近まで不可能であったのが三次元性の高い跳水点付近の乱れの特性を完全に解明することができなかった而してである。

本研究の目的は張糸式流速計による流速の三方向成分の同時測定を通して、跳水点付近の乱れの三次元性を明確にするにすこしである。ここでは解析結果の一端を報告する。

## 2. 実験

Fig.1 に本実験の概要を示した。跳水点後方の流連測定は水路中心軸  $y=0$  を含む面内において、張糸式流速計により  $x$  軸、 $z$  軸方向のそれぞれ  $10 \text{ cm}$ ,  $2 \text{ cm}$  間隔で実施した。この流速計は各測定点ごとに所定の高さで固定された支持棒を介して水路上縁上に動く台車に固定された。各測定点においては 2.5 秒間の時系列データが各速度成分ごとに独立に記録された。これらのアノログデータはサンプリング周波数  $500 \text{ Hz}$  でいったんデジタル化され、データ処理が行われた。また、各測定点、各速度成分ごとに独立に平均速度、乱れの強度、レイノルズ応力などがエネルギースペクトルが求められた。

Table 1 には本実験の主な水理パラメータの値を掲げた。ここで、 $\bar{U}$  は水路幅  $x = 200 \text{ cm}$  における平均速度と水深である。なお、実験結果の提示にあたって乱れの強度などがレイノルズ応力を無次元化するために二つの平均速度  $\bar{U}$  を用いた。

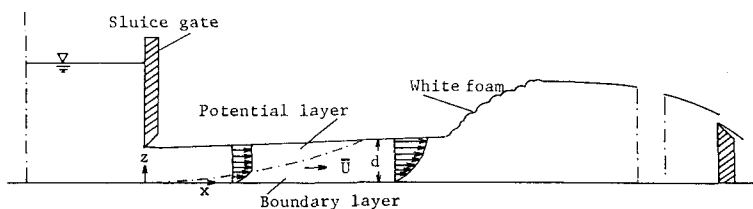


Fig.1 Schematic diagram of hydraulic jump experiment

### 3. 結果

本章で  $x = 240 \text{ cm}$  の場所にかけて了平均速度、乱れの強さ、レイノルズ应力とエネルギー・スペクトルの結果を示す。

(a) 平均速度: Fig.2 は  $x, y, z$  方向の各平均速度及び  $x$  和

$z$  の各速度の水深方向への分布を示した。二回軸  $x = 200 \text{ cm}$  の場所にかけて了水深  $d = x = z$  黑次元化された  $\bar{U}$  は、 $x = 240 \text{ cm}$  の場所では跳水最高端にあった  $\bar{U}$  、各平均速度と水深の差比  $= 1.47 \pm 0.05$  であるが付表を示す。

(b) 亂れの強さ: Fig.3 は  $x, y, z$  方向の各乱れ強さ(すなわち、速度変動の 2 楽平均平方根を  $x = 200 \text{ cm}$  の場所にかけて了平均速度と黒次元化された値)の水深方向への分布を示した。二回軸  $x, y$  方向の乱れの強さは  $x$  方向が最大で、 $y$  方向が最小を  $x$  方向が二倍以上強くなる。ただし、 $z/d = 1.3$  で  $y$  方向と  $z$  方向の乱れの強さの大小関係が逆転している。また、 $x$  方向の乱れの強さは深さに依存性を示していない。

(c) レイノルズ应力: Fig.4 は各レイノルズ应力の水深方向への分布を示した。図示された三種類のレイノルズ应力は各値を示す水深に依存性を示すことがわかる。左方、三種類のレイノルズ应力の絶対値が共通の水頭近くで最大となる。

(d) エネルギー・スペクトル: Fig.5 は水深  $z/d = 0.77$  における  $x, y, z$  の各速度成分  $\bar{u}, \bar{v}, \bar{w}$  のエネルギー・スペクトルを示した。二回軸  $x$  のエネルギー・スペクトルは低周波帯に多くのエネルギーをもつ、周波数の増加に伴って、衰減し、以降は増減をくりかえすことがわかる。二回軸  $x, y$  のエネルギー・スペクトルは周波数の増加に伴って増加し、 $f = 8 \text{ Hz}$  においては

最大値をもつ。一方、 $\bar{w}$  のエネルギー・スペクトルは低周波帯時に若干入るが、これは方形波形である。

#### 参考文献

- Rouse, H. et al 1958 Proc. ASCE HY, 84, paper 1528.
- Resch, F.J. 1970 Proc. ASCE HY, 96, 787-800.
- Resch, F.J. et al 1972 J. of Hydraulic Research, 10, 409-430.
- Nakagawa, T. 1983 J. Fluid Mech., 126, 251-268.

Table 1: Hydraulic parameters

Mean velocity $\bar{U} [\text{cm/s}]$	162.11
Mean water depth $d [\text{cm}]$	2.13
Froude No. $F = \bar{U}/\sqrt{gd}$	3.55
Reynolds No. $R = \bar{U}d/v$	$3.57 \times 10^4$
Flume bed slope $\alpha$	3/1000

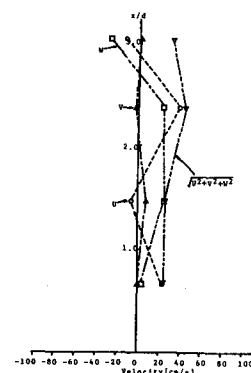


Fig.2: Mean velocity vs. normalized vertical co-ordinate  $z/d$

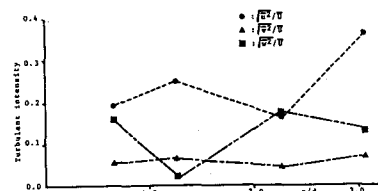


Fig.3: Turbulent intensity vs. normalized vertical co-ordinate  $z/d$

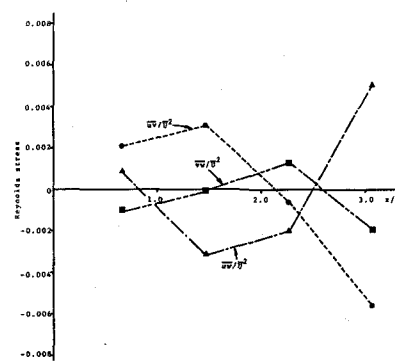


Fig.4: Reynolds stress vs. normalized vertical co-ordinate  $z/d$

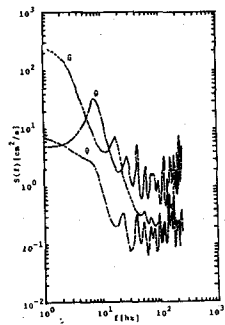


Fig.5: Power spectral density  $S(f)$  vs. frequency  $f$  at  $z/d = 0.77$